

ЭФФЕКТ МАЯТНИКА КАПИЦЫ В ПРОТОЧНОМ РЕАКТОРЕ

*Н. И. Ваганова, Э. Н. Руманов**

*Институт структурной макрокинетики и проблем материаловедения Российской академии наук
142432, Черноголовка, Московская обл., Россия*

Поступила в редакцию 2 сентября 2011 г.

В широком диапазоне параметров уравнения проточного экзотермического реактора имеют три стационарных решения, описывающих состояния: горячее, холодное и промежуточное, неустойчивое. Сходство с уравнениями одномерного движения указывает на возможность стабилизации неустойчивости малым высокочастотным возмущением (эффект маятника Капицы). Такая стабилизация получена при численном моделировании.

1. ВВЕДЕНИЕ

Первые исследования проточного экзотермического реактора [1, 2] показали, что пространство параметров разбивается на две части; в одной из них каждой «точке» отвечает лишь одно стационарное состояние, в другой части таких состояний три. В зависимости от начальных условий, реактор переходит либо в горячий режим, при котором успевает пройти почти полное превращение поступающей смеси, либо в холодный, при котором вещество течет через систему, почти не испытывая превращения. Формально имеется еще промежуточное состояние, однако оно неустойчиво. При определенных условиях развиваются релаксационные колебания [3–5]: после вспышки наступает пауза, в течение которой продукты замещаются свежей смесью, затем следует новая вспышка.

В работе [6] было высказано пожелание найти способ стабилизации неустойчивого режима, чтобы превращение могло идти до ценных полупродуктов. Зельдович сравнивал реактор и звезду на главной последовательности (например, Солнце). Баланс термоядерного источника и лучистого отвода энергии тоже дает три стационарных состояния, но устойчивым является среднее из них, поскольку теплоемкость звезды отрицательна (см. [7]). Мы рассмотрим стабилизацию неустойчивого режима, исходя из математической аналогии между уравнениями реактора и одномерного движения в поле потенциальной силы и силы трения. В неустойчивом со-

стоянии потенциал достигает максимума. Действие высокочастотного возмущения создает на месте максимума некоторый минимум эффективной потенциальной энергии, чем и обеспечивается стабилизация (эффект маятника Капицы [8]).

2. ПОСТАНОВКА ЗАДАЧИ

Запишем уравнения реактора в виде, удобном для дальнейшего численного моделирования:

$$\frac{d\eta}{dt} = \Phi(\eta, \theta) - \frac{\eta}{D}, \quad (1)$$

$$\frac{d\theta}{dt} = Z\Phi - \frac{Z + \theta}{S}. \quad (2)$$

Здесь η — концентрация продукта реакции (глубина превращения), $0 < \eta < 1$, $\theta = (E/T_b^2)(T - T_b)$, энергия активации E и температура T выражены в одинаковых единицах, $T_b = T_a + Q/c$, T_a — температура термостата и поступающей смеси, Q — теплота реакции, c — теплоемкость. Скорость реакции в простейшем случае равна

$$\Phi = (1 - \eta)e^\theta, \quad (3)$$

причем в качестве масштаба времени в уравнениях (1), (2) выбрана величина $(1/k) \exp(E/T_b)$, k — постоянный множитель, имеющий размерность частоты, и принято, что $\exp(E/T) \approx \exp(E/T_b) / \exp \theta$. Система (1), (2) содержит три параметра: числа Дамкёлера (Damköhler) $D = \tau k \exp(-E/T_b)$, Семёнова $S = D / (1 + \tau \tau_f^{-1})$ и Зельдовича $Z = EQ/cT_b^2$, где τ — время пребывания смеси в реакторе, τ_f —

*E-mail: ed@ism.ac.ru

время остывания без протока, $\tau \gg \tau_f$. Обычно $E \gg T$, так что $Z \gg 1$. При данном Z область трех решений на плоскости (D, S) имеет вид полуострова, заканчивающегося точкой возврата $D_c = \exp(Z-2)$, $S_c = 4D_c/Z$. Температура в этой точке $\theta_c = 2 - Z$.

От двух уравнений первого порядка (1), (2) можно перейти [9, 10] к одному уравнению второго порядка. Это можно сделать, например, выразив η через θ и $d\theta/dt$ с помощью (2) и подставив это выражение в (1):

$$\frac{d^2\theta}{dt^2} = -\frac{dV}{d\theta} - \gamma \frac{d\theta}{dt}, \quad (4)$$

$$-\frac{dV}{d\theta} = \left(\frac{Z}{D} - \frac{\theta + Z}{S} \right) e^\theta - \frac{\theta + Z}{DS}, \quad (5)$$

$$\gamma = \frac{1}{D} + e^\theta - \frac{\theta + Z - 1}{S} - \frac{d\theta}{dt}. \quad (6)$$

Выражение (4) подобно уравнению одномерного движения частицы с единичной массой и координатой θ под действием потенциальной силы (5) и силы трения. Коэффициент трения (6) в зависимости от параметров может быть как положительным, так и отрицательным. В этом уравнение (4) сходно с уравнением Ван дер Поля [11]. Возможность отрицательного трения обусловлена, очевидно, накачкой — протоком вещества через реактор. Потенциал V в зависимости от параметров имеет либо один минимум, либо три экстремума — два минимума и максимум между ними. Значения температур, отвечающих точкам экстремумов, разумеется, те же, что и для стационарных решений (1), (2). Однако, рассматривая потенциал V , можно увидеть, какой из минимумов более глубокий, различить абсолютно устойчивое и метастабильное состояния.

Рассмотрим теперь реактор, у которого некоторый участок стенки подогрет до $\theta = \theta_m$, где θ_m — температура максимума $V(\theta)$ в выражении (5). Скорость охлаждающего потока для этого участка меняется по закону $\sin \omega t$, $\omega \tau \gg 1$. Соответственно в правой части (2) добавляется слагаемое $-(\theta - \theta_m)\varepsilon \sin \omega t$. Множитель ε пропорционален амплитуде движения поршня, управляющего таким потоком. При усреднении по малому периоду $1/\omega$ в точке θ_m появляется локальный минимум V , неустойчивое состояние превращается в устойчивое.

3. РЕЗУЛЬТАТЫ ЧИСЛЕННОГО МОДЕЛИРОВАНИЯ

Нестационарные решения системы (1), (2) с возмущающей добавкой получены численным интегрированием. Использовалась подпрограмма RKF45

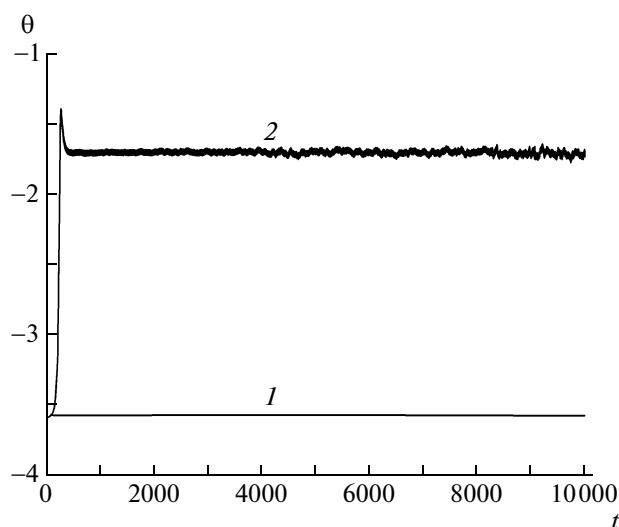


Рис. 1. Зависимости температуры от времени: стабилизация неустойчивой точки (1) и выход на горячий режим (2)

компилятора FORTRAN 77. Возмущенная задача содержит пять параметров. Мы ограничились рассмотрением нескольких примеров, в которых принято $D = 50$, $S = 42$, $Z = 7$. Тогда глубина исходных минимумов примерно одинакова. На рис. 1 показана зависимость $\theta(t)$, температура $\theta_m \approx -3.57$. Это значение температуры приблизительно удерживалось, когда амплитуда возмущения превышала величину $\varepsilon \approx 0.7$ (кривая 1). При $\varepsilon = 0.6$ наблюдается быстрый переход к горячему режиму (кривая 2). Согласно [8] решение должно состоять из двух частей: усредненной плавной траектории, показанной на рис. 1, и быстрых осцилляций около этой траектории. Осцилляции видны на рис. 2, где показан участок решения при большом увеличении. Обращает на себя внимание хаотическая составляющая осцилляций. К ее происхождению мы вернемся ниже.

После того как стабилизация получена, возникает задача: найти порог стабилизации, минимальное критическое значение ε . Вблизи порога глубина минимума эффективной потенциальной энергии мала. Представим себе, что на систему кроме синусоидального возмущения действует некоторый шум. Если случайно несколько малых отклонений направлены в одну сторону, они могут перебросить систему через невысокий барьер, вызвать переход в устойчивое состояние (переходы Крамерса [12]). В реакторе такие переходы изучались в работе [10]. Наиболее опасны мягкие моды шума [10, 13, 14]. В случае численного моделирования роль шума играют неизбеж-

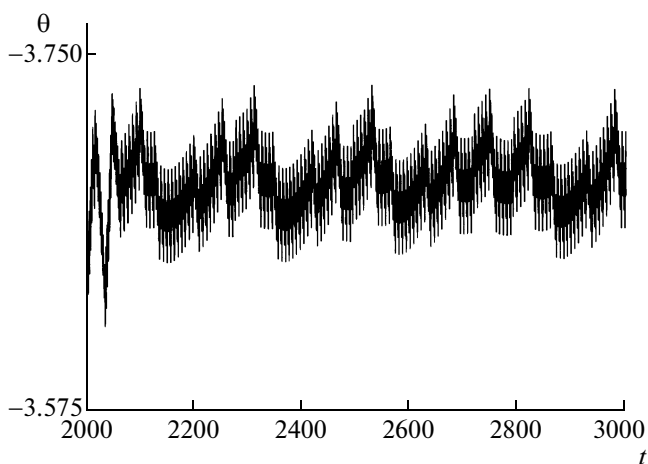


Рис. 2. Осцилляции около усредненной траектории

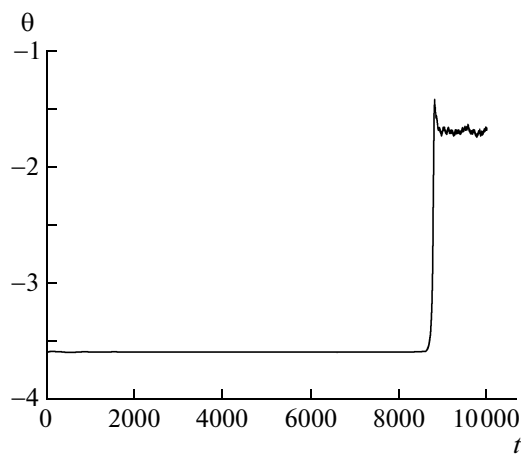


Рис. 3. Переход Крамерса

ные округления при решении уравнений в конечных разностях. Переход Крамерса под действием такого «шума» можно видеть на рис. 3, а на регулярные осцилляции накладываются хаотические мягкие моды, создавая своеобразную перемежаемость (рис. 2). По той же причине не удастся найти критическое значение ε с высокой точностью, на рис. 4 приведен ряд значений этой величины при разных частотах. В интервале ± 5 около значения $\omega = 70$ стабилизация достигается лишь при нереально высоких ε . По-видимому, границы этого интервала отвечают точкам бифуркации на кривой нелинейного резонанса. В работе [15] изучалось периодическое воздействие на реактор (без ссылки на [8]), наблюдались колебания, амплитуда которых сравнима с «расстоянием» до устойчивого режима. Пример таких коле-

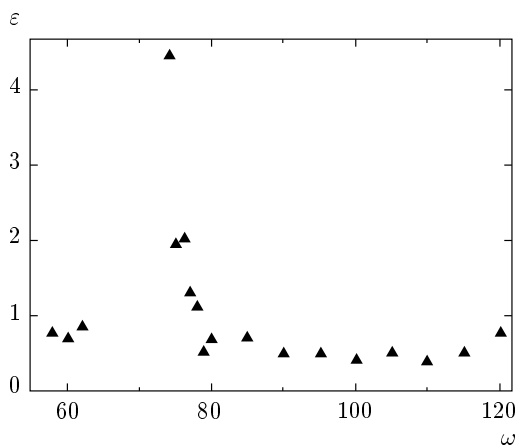


Рис. 4. Критическое значение ε для ряда частот

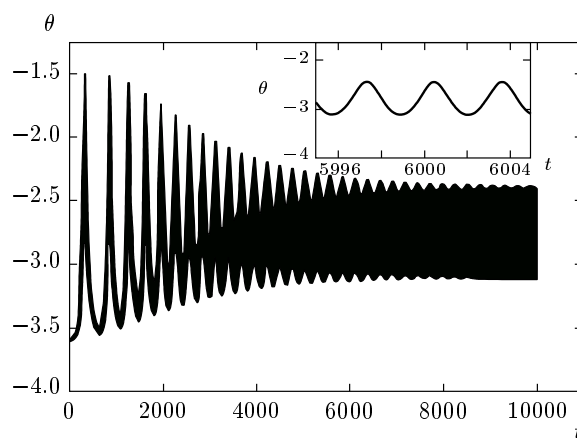


Рис. 5. Вынужденные колебания температуры в реакторе

баний в наших расчетах показан на рис. 5. Вставка на этом рисунке показывает несколько осцилляций. Для выявления их структуры используется большое увеличение по оси абсцисс.

4. ЗАКЛЮЧЕНИЕ

Пожелание, высказанное в работе [6], можно считать выполненным. Возможность стабилизации мы продемонстрировали на простом примере одностадийной реакции первого порядка (3). В реальных условиях процесс имеет, как правило, несколько стадий. Число переменных (концентраций) увеличивается, но стабилизация высокочастотным возмущением возможна и в случае нескольких степеней свободы. Расчет для реакций, представляющих практический интерес, выходит за рамки этой работы.

Работа осуществлена при финансовой поддержке РФФИ (грант № 11-03-00058) и Программы № 12 Президиума РАН.

ЛИТЕРАТУРА

1. Д. А. Франк-Каменецкий, ЖТФ **9**, 1457 (1939).
2. Я. Б. Зельдович, ЖТФ **11**, 193 (1941).
3. Д. А. Франк-Каменецкий, И. Е. Сальников, ЖФХ **17**, 79 (1943).
4. R. Aris and N. R. Amundson, Chem. Eng. Sci. **7**, 129 (1958).
5. D. A. Vaganov, N. G. Samoilenko, and V. G. Abramov, Chem. Eng. Sci. **33**, 1133 (1978).
6. Я. Б. Зельдович, *Вступительная лекция на I Всесоюзном симпозиуме по горению и взрыву*, ИХФ, Черногловка (1968).
7. Л. Д. Ландау, Е. М. Лифшиц, *Статистическая физика*, ч. 1, Наука, Москва (1995), с. 85.
8. П. Л. Капица, ЖЭТФ **21**, 388 (1951).
9. Э. Н. Руманов, ДАН **408**, 325 (2006).
10. Н. И. Ваганова, Э. Н. Руманов, ЖЭТФ **135**, 395 (2009).
11. B. Van der Pol, Radio Rev. **1**, 701 (1920).
12. H. Kramers, Physica (Amsterdam) **7**, 284 (1940).
13. Н. И. Ваганова, Э. Н. Руманов, ДАН **440**, 463 (2011).
14. Н. И. Ваганова, Э. Н. Руманов, Природа № 10, 23 (2011).
15. A. Cinar, J. Deng, S. M. Meerkov, and X. Shu, Amer. Inst. Chem. Eng. J. **33**, 353 (1987).